

УДК 546.59:547.89:548.737

[Au(C₉H₁₉N₄)](ReO₄)₂.
СИНТЕЗ, КРИСТАЛЛИЧЕСКАЯ СТРУКТУРА, ТЕРМИЧЕСКИЕ СВОЙСТВА

В.А. Афанасьева¹, Л.А. Глинская¹, Д.А. Пирязев¹, С.А. Громилов^{1,2}

¹Институт неорганической химии им. А.В. Николаева СО РАН, Новосибирск, Россия

E-mail: l311@niic.nsc.ru

²Новосибирский национальный исследовательский государственный университет, Россия

Статья поступила 28 октября 2014 г.

Синтезирован перренат ациклического тетраазаметаллокомплекса золота(III) [Au(C₉H₁₉N₄)](ReO₄)₂. 3D кристаллическая структура комплекса стабилизирована слабыми вторичными взаимодействиями (водородными связями N—H...O, C—H...O, C—H...Au и контактами Au...O). Методом трансляционных подрешеток показано, что мотив расположения катионов можно рассматривать как псевдогексагональный. Продуктом термического разложения [Au(C₉H₁₉N₄)](ReO₄)₂ в атмосфере водорода является смесь нанокристаллических фаз (ГПУ-фазы на основе Re и Au) с размерами областей когерентного рассеяния 24 и 34 нм соответственно.

DOI: 10.15372/JSC20150827

Ключевые слова: золото, рений, тетраазаметаллоцикл, комплексная соль, рентгеноструктурный анализ, рентгенофазовый анализ, кристаллохимия, термолиз.

В литературе известно несколько структур с ациклическим иминатно-аминным тетраазаметаллокомплексом золота(III) [Au(C₉H₁₉N₄)]²⁺, в которых в качестве противоионов выступают одноатомный Γ (**I**) [1] и многоатомные ClO₄⁻ (**II**) [2] и PF₆⁻ (**III**) [3]. Целью настоящей работы является получение и физико-химическое исследование комплекса [Au(C₉H₁₉N₄)](ReO₄)₂ (**IV**), в котором противоионом является оксоанион переходного металла. Такой комплекс может быть использован в качестве предшественника для получения биметаллических фаз с соотношением металлов Au:Re = 1:2 в нанокристаллическом состоянии. С кристаллохимической точки зрения представляется интересным проследить за изменением характеристик, определяющих и стабилизирующих упаковку ациклических комплексов золота(III) с гетероциклическим катионом [Au(C₉H₁₉N₄)]²⁺, при введении в их состав металлоаниона.

ЭКСПЕРИМЕНТАЛЬНАЯ ЧАСТЬ

Использованные в работе реагенты имели следующую квалификацию: NaReO₄ — ХЧ, этиловый спирт — ректифицированный.

Синтез [Au(C₉H₁₉N₄)](ReO₄)₂. Необходимый для синтеза N,N'-бис(2-аминоэтил)-2,4-пентандииминатозолота(III) бисперхлорат [Au(C₉H₁₉N₄)](ClO₄)₂ получали по методике, приведенной в [2]. N,N'-бис(2-аминоэтил)-2,4-пентандииминатозолота(III) бисперренат [Au(C₉H₁₉N₄)](ReO₄)₂ синтезировали следующим образом. К раствору 0,0415 г [Au(C₉H₁₉N₄)](ClO₄)₂ (0,072 ммоль) в 4,8 мл воды добавляли порциями избыток кристаллического NaReO₄ (0,123 г, 0,450 ммоль). Выпавший оранжевый осадок отфильтровывали от маточника, промывали спиртом (5 раз по

Таблица 1

Кристаллографические характеристики, детали эксперимента и уточнения структуры комплекса IV

Эмпирическая формула	$C_9H_{19}AuN_4O_8Re_2$
M	880,65
Сингония	Моноклинная
Пространственная группа	$P2_1/c$
$a, b, c, \text{\AA}; \beta, \text{град.}$	23,1320(3), 12,9427(2), 18,0810(3); 106,938(1)
$V, \text{\AA}^3$	5178,5(1)
$Z; \rho(\text{выч.}), \text{г}/\text{см}^3$	12; 3,389
$\mu, \text{мм}^{-1}$	22,513
Размеры кристалла, мм	0,2×0,15×0,10
Область сканирования, θ , град.	0,92—31,79
Число измер. / независ. отражений; $R(\text{int})$	24801 / 14314; 0,0343
Число отражений с $I > 2\sigma(I)$	8891
Число уточняемых параметров	655
GOOF по F^2	0,983
R -фактор, $I > 2\sigma(I)$	$R_1 = 0,0449, wR_2 = 0,0814$
R -фактор (по всем I_{hkl})	$R_1 = 0,0938, wR_2 = 0,0958$
Остаточная электронная плотность (max / min), $e/\text{\AA}^3$	2,310 / -2,389

3—5 мл), высушивали. Выход 0,043 г (63 %). Найдено, %: C 12,8, H 2,2, N 6,5. Для $C_9H_{19}N_4O_8AuRe_2$ вычислено, %: C 12,28, H 2,17, N 6,36. Элементный анализ проводили в аналитической лаборатории ИНХ СО РАН. Соединение устойчиво на воздухе при комнатной температуре, растворимо в диметилформамиде, нерастворимо в воде и этиловом спирте.

Монокристаллы соединения $[Au(C_9H_{19}N_4)](ReO_4)_2$ изометричной формы оранжевого цвета, пригодные для РСА, выращены при медленном испарении при комнатной температуре его раствора в ДМФА.

РСА. Экспериментальный массив рентгеновских отражений получали на автодифрактометре Bruker X8 APEX CCD при комнатной температуре по стандартной методике (MoK_α -излучение, $\lambda = 0,71073 \text{\AA}$, графитовый монохроматор). Структура расшифрована прямым методом и уточнена полноматричным МНК в анизотропном для неводородных атомов приближении по комплексу программ SHELXL-97 [4]. Положения атомов H локализованы геометрически и уточнены в модели наездника. Их параметры рассчитывали в каждом цикле уточнения по координатам соответствующих атомов углерода. Основные кристаллографические характеристики комплекса приведены в табл. 1. Значения основных межатомных расстояний и валентных углов приведены в табл. 2. Полные таблицы координат атомов, длин связей и валентных углов депонированы в Кембриджской базе структурных данных (CCDC № 1027794) или могут быть получены у авторов.

Рентгенографическое исследование поликристаллов проведено на дифрактометре Shimadzu XRD-7000 (CuK_α -излучение, схема Брэгга—Брентано, комнатная температура, внешние эталоны Si и LaB₆). Дифрактограмма комплексной соли полностью проиндексирована по данным исследования монокристалла, что подтверждает однофазность синтезированного продукта.

Термическое разложение поликристаллов проведено в атмосфере водорода при 800 °C (выдерживание в течение 1 ч, продувка гелием, быстрое охлаждение до комнатной температуры).

РЕЗУЛЬТАТЫ И ИХ ОБСУЖДЕНИЕ

Кристаллическая структура соединения IV имеет ионный характер. Она составлена из трех кристаллографически независимых комплексных катионов $[Au(C_9H_{19}N_4)]^{2+}$ (K_1, K_2, K_3) (рис. 1) и шести кристаллографически независимых перренат-анионов ReO_4^- . В координационную сферу

Т а б л и ц а 2

Основные межатомные расстояния d (Å) и валентные углы ω (град.) в структуре комплекса IV

атомов Au входит четыре атома азота с расстояниями Au—N 1,961(7)—2,047(7) Å. К двум атомам углерода шестичленных колец катиона присоединены метильные группы. Комплексные катионы практически плоские, максимальное среднеквадратичное отклонение всех неводородных атомов составляет 0,201(8) Å (для K₂). Шестичленные кольца AuNCCCN плоские, среднее отклонение неводородных атомов от их среднестатистических плоскостей не превышает 0,029(6) Å. Пятичленные этилендиаминовые кольца имеют конформацию *конверта*: четыре атома кольца (Au, N, C, N) лежат в плоскости, тогда как пятый (C(2), C(4), C(12), C(14), C(22), C(24)) отклоняется от нее ($\Delta_{\max} = 0,63(1)$ Å). В целом длины связей N—C и C—C и величины валентных углов катиона [Au(C₉H₁₉N₄)]²⁺ (см. табл. 2) аналогичны значениям в структурах I—III [3]. В тетраэдре перренат-аниона расстояния Re—O изменяются от 1,692(9) до 1,727(8) Å со средним значением 1,702 Å; средние значения углов при атомах Re (109,5°) близки к стандартным.

На рис. 2 представлена проекция структуры на плоскость (101). Катионы $[Au(C_9H_{19}N_4)]^{2+}$, размноженные центрами симметрии, образуют сдвоенные стопки, тянувшиеся в направлении [101]; иминатные "головы" катионов находятся внутри, а аминные "хвосты" — снаружи стопок. Катионы K_2 и K_3 сдвоенных стопок связаны слабыми катион-катионными взаимодействиями $C—H...Au$ метильной группы катиона K_3 с центральным атомом золота катиона K_2 . В пустотах между стопками размещены бесконечные цепочки анионов ReO_4^- , тянувшиеся в том же направлении.

Сдвоенные стопки катионов объединены в 2D слои (рис. 3) замкнутыми кольцами "два катиона—два аниона", образованными четырьмя Н-связями N—H...O аминогрупп катионов соседних стопок. Каждый из слоев может быть также представлен как совокупность размноженных

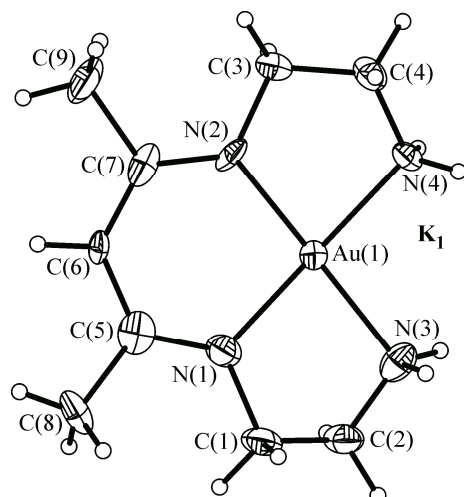


Рис. 1. Комплексный катион $[Au(C_9H_{19}N_4)]^{2+}$ с обозначениями неводородных атомов и эллипсоидами тепловых колебаний (приведена нумерация для K₁)

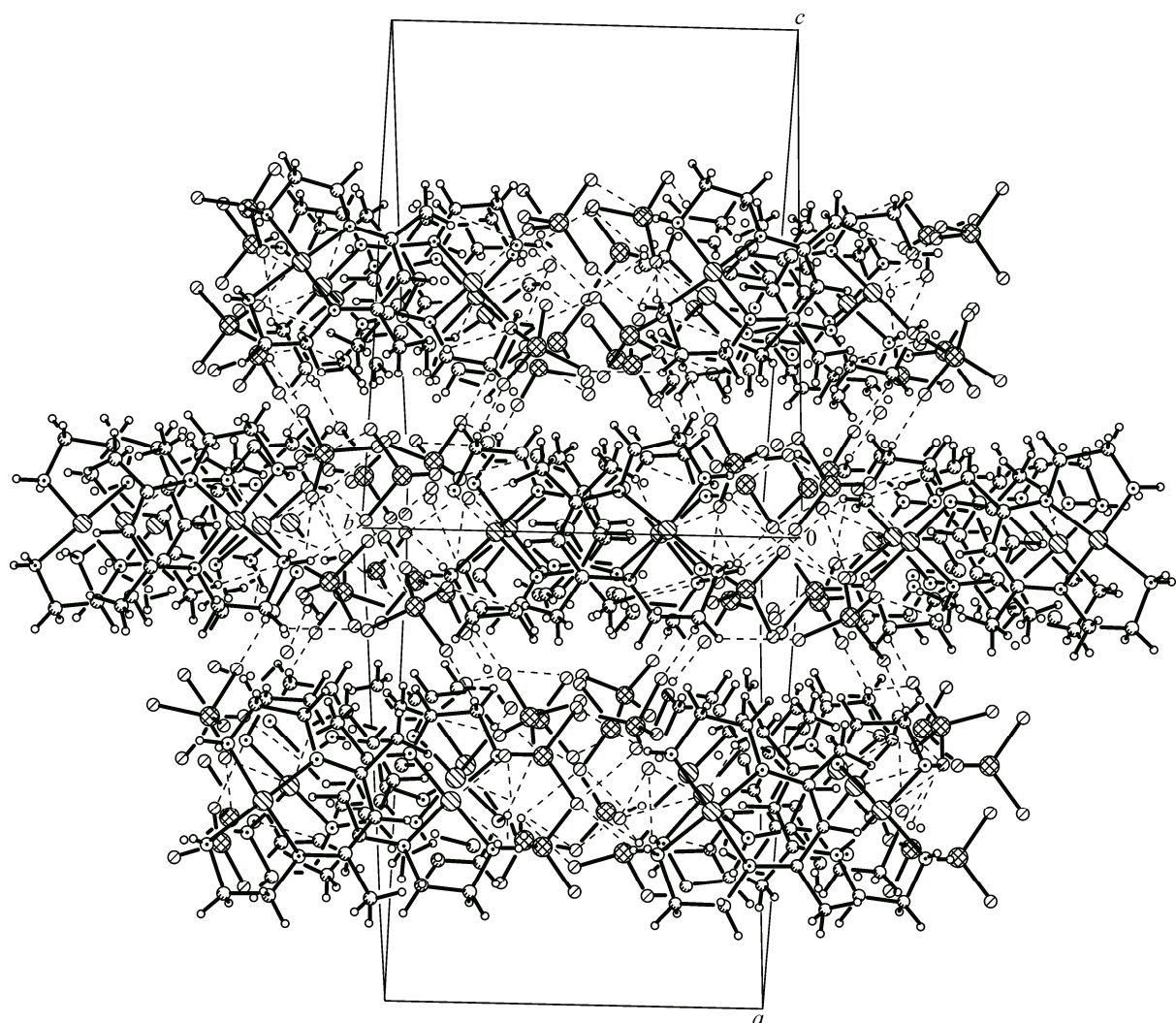


Рис. 2. Упаковка ионов в структуре **IV** в проекции на плоскость (101)

центрами симметрии плоских ($\Delta_{\max} = 0,11 \text{ \AA}$) катион-анионных лент (псевдолент), тянувшихся вдоль оси *b*, в которых катионы в положении "голова—хвост" чередуются с парами анионов (расчет Δ проведен с учетом атомов координационных узлов AuN_4 и центральных атомов анионов). Связь между слоями в комплексе обеспечивается метиленовыми группами пятичленных этилендиаминовых колец (см. рис. 2).

Следует отметить, что оба атома водорода каждой из аминогрупп катиона образуют с атомами кислорода выше- и нижележащих анионов цепочки из Н-связей, тянующиеся в направлении [101] (рис. 4). Каждая из цепочек составлена из шести независимых Н-связей. Мостиковыми атомами в цепочках являются атомы N аминогрупп и атомы O перренат-анионов; фрагменты O...H—N—H...O цепочек плоские: $\Delta = 0,12—0,20 \text{ \AA}$.

В целом архитектура упаковки комплекса **IV**, имеющего в качестве противоиона оксоанион металла, аналогична выявленной для иминатно-аминных комплексов золота(III) **I—III**, содержащих анионы неметаллов [3]. Определяющим фактором, стабилизирующим и скрепляющим упаковки иминатно-аминных комплексов **I—IV**, являются слабые межмолекулярные взаимодействия (Н-связи N—H...A, C—H...A и контакты Au...A), вносящие основной вклад в формирование структурного мотива этих комплексов. При этом геометрические характеристики одноименных Н-связей (N—H...O и C—H...O) и контактов Au...O перренатного комплекса **IV** (табл. 3) и перхлоратного комплекса **II** [3], имеющих в качестве противоионов тетраэдри-

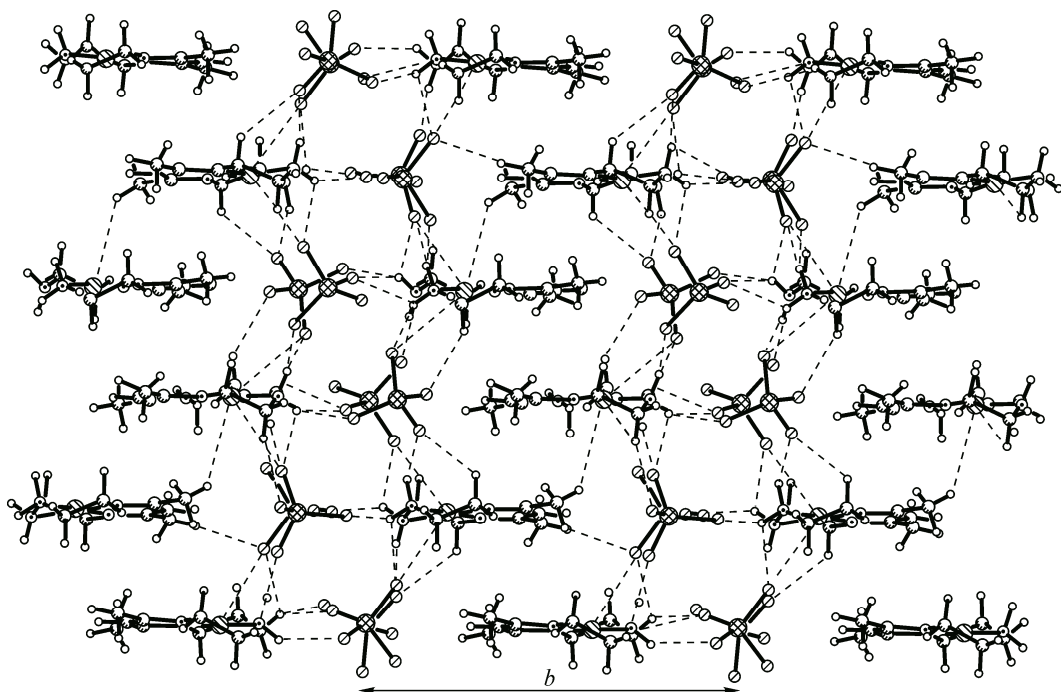


Рис. 3. Вид слоя катионов и анионов

ческие кислородсодержащие анионы, идентичны и не зависят от взаиморасположения катиона и аниона (в ленте, в стопке или между стопками). Характерным для структур обоих комплексов является наличие би- и трифуркатных ($\text{N}-\text{H}\dots\text{O}$, O и $\text{N}-\text{H}\dots\text{O}$, O , O) и хелатных ($\text{N}-\text{H}$, $\text{H}\dots\text{O}$, $\text{O}-\text{Cl}$ (Re)) связей (см. табл. 3, [3]). Атомы кислорода анионов дополняют координацию центрального атома золота в обоих комплексах; эти же атомы O одновременно участвуют в образовании H-связей с аминогруппами катиона, образуя плоские ($\Delta = 0,036\text{--}0,140 \text{\AA}$) четырехчленные кольца "один катион—один анион". Отметим, что расстояние между центральными атомами катионов ($\text{Au}\dots\text{Au}$) в лентах ($12,943(1) \text{\AA}$) и между лентами ($3,7\text{--}4,0 \text{\AA}$) в слое у перрената больше, чем у перхлората ($12,459(3)$ и $3,3\text{--}3,7 \text{\AA}$ соответственно) и коррелирует с размерами ван-дер-ваальсовых радиусов [5] центральных атомов анионов ($2,1 \text{\AA}$ для Re и $1,8 \text{\AA}$ для Cl).

Анионы ReO_4^- расположены в структуре IV парами: минимальное расстояние $\text{Re}\dots\text{Re}$ ($4,21 \text{\AA}$) наблюдается между анионами в лентах и равно удвоенному ван-дер-ваальсовому радиусу атома рения. Тенденция к образованию пар анионов ReO_4^- с коротким расстоянием между анионами отмечена ранее в структурах комплексов переходных металлов, содержащих несколько аминогрупп, координированных к центральному атому: $[\text{Pd}(\text{En})_2](\text{ReO}_4)_2$ [6], $[\text{Au}(\text{dien})\text{Cl}](\text{ReO}_4)_2$ [7]. Анионы ReO_4^- сгруппированы в "четверки" в структурах комплексов $[\text{Ni}(\text{En})_3](\text{ReO}_4)_2$ [8] и $[\text{CuL}](\text{ReO}_4)_2$ (L — 4,6,6-триметил-1,9-диамино-3,7-диазанон-3-ен) [9], лиганды которых также содержат координированные к центральным атомам аминогруппы.

В работах [6, 10, 11] при описании мотива построения кристаллических структур комплексных солей $[\text{M}(\text{En})_2](\text{ReO}_4)_2$ ($\text{M} = \text{Cu}, \text{Pd}, \text{Pt}$), имеющих, как и в нашем случае, плоские комплексные катионы и компактные тетраэдрические анионы, был использован несколько модифицированный метод трансляционных подрешеток [12]. Суть модификации изложена в [13] и заключается в построении теоретической дифрактограммы только по атомам, принадлежащим интересующему фрагменту. Например, расчет по центральным атомам комплексного катиона (взят, как имеющий больший размер) позволяет выявить кристаллографические плоскости, наиболее заселенные конкретными атомами, и изучить мотив их взаимного расположения.

Таблица 3

Геометрические параметры водородных связей и контактов в структуре комплекса IV

D—H...A	Расстояние, Å			Угол DHA, град.	Преобразование симметрии для A		
	D...A	H...A	D—H				
K(1)							
N—H...O							
N(3)—H(3A)...O(4)	3,09(1)	2,30	0,90	138	$-x, y-1/2, 1/2-z$		
N(3)—H(3A)...O(8)	3,07(1)	2,40	0,90	126	$x, y-1, z$		
N(3)—H(3B)...O(23)	2,85(1)	1,97	0,90	150	x, y, z		
N(4)—H(4A)...O(19)	2,94(1)	2,43	0,90	112	x, y, z		
N(4)—H(4A)...O(5)	2,95(1)	2,12	0,90	143	$x, y-1, z$		
N(4)—H(4B)...O(7)	2,94(1)	2,14	0,90	139	$-x, 1-y, -z$		
N(4)—H(4B)...O(4)	2,84(1)	2,18	0,90	125	$-x, y-1/2, 1/2-z$		
C—H...O							
C(2)—H(2B)...O(2)	3,34(2)	2,50	0,97	144	$-x, y-1/2, 1/2-z$		
C(4)—H(4C)...O(3)	3,08(1)	2,53	0,97	116	$x, 1/2-y, z-1/2$		
C(4)—H(4D)...O(21)	3,15(1)	2,31	0,97	144	$x, 1/2-y, z-1/2$		
Контакты							
Au(1)...O(19)		3,068(7)			x, y, z		
Au(1)...O(4)		3,446(9)			$-x, y-1/2, 1/2-z$		
K(2)							
N—H...O							
N(7)—H(7A)...O(22)	3,00(1)	2,40	0,90	119	x, y, z		
N(7)—H(7A)...O(12)	2,89(1)	2,32	0,90	117	$x, -y+1/2, 1/2+z$		
N(7)—H(7A)...O(15)	3,22(1)	2,44	0,90	137	$x, y-1, z$		
N(7)—H(7B)...O(13)	2,93(1)	2,11	0,90	141	$1-x, 1-y, 1-z$		
N(7)—H(7B)...O(10)	2,91(1)	2,27	0,90	122	$1-x, y-1/2, 1/2-z$		
N(8)—H(8D)...O(10)	2,99(1)	2,19	0,90	139	$1-x, y-1/2, 1/2-z$		
N(8)—H(8D)...O(15)	3,02(1)	2,42	0,90	119	$x, y-1, z$		
N(8)—H(8E)...O(22)	3,04(1)	2,41	0,90	122	x, y, z		
N(8)—H(8E)...O(18)	2,90(1)	2,07	0,90	143	x, y, z		
C—H...O							
C(12)—H(12A)...O(21)	3,39(1)	2,47	0,97	160	x, y, z		
C(14)—H(14A)...O(11)	3,39(1)	2,56	0,97	145	$1-x, y-1/2, 1/2-z$		
Контакты							
Au(2)...O(22)		3,115(8)			x, y, z		
Au(2)...O(10)		3,393(9)			$1-x, y-1/2, 1/2-z$		
K(3)							
N—H...O							
N(11)—H(11C)...O(1)	2,94(1)	2,11	0,90	143	$x, 3/2-y, z-1/2$		
N(11)—H(11D)...O(16)	2,89(1)	2,34	0,90	115	x, y, z		
N(11)—H(11D)...O(20)	2,91(1)	2,09	0,90	141	$x, y+1, z$		
N(12)—H(12C)...O(9)	2,94(1)	2,13	0,90	140	$x, 3/2-y, 1/2+z$		
N(12)—H(12D)...O(6)	2,87(1)	2,31	0,90	115	x, y, z		
N(12)—H(12D)...O(20)	3,24(1)	2,52	0,90	132	$x, y+1, z$		
N(12)—H(12D)...O(24)	2,81(1)	2,21	0,90	119	$x, y+1, z$		
C—H...O							
C(21)—H(21A)...O(1)	3,27(1)	2,58	0,97	128	$x, 3/2-y, z-1/2$		
C(22)—H(22A)...O(11)	3,18(1)	2,31	0,97	148	x, y, z		
C(23)—H(23A)...O(9)	3,19(1)	2,49	0,97	129	$x, 3/2-y, z+1/2$		
C(24)—H(24A)...O(2)	3,24(1)	2,37	0,97	150	x, y, z		
C(28)—H(28B)...O(19)	3,47(1)	2,51	0,97	173	x, y, z		
C—H...Au							
C(29)—H(29B)...Au(2)	4,03(1)	3,28(1)	0,96	137	x, y, z		
Контакты							
Au(3)...O(16)		3,131(8)			x, y, z		
Au(3)...O(6)		3,156(9)			x, y, z		

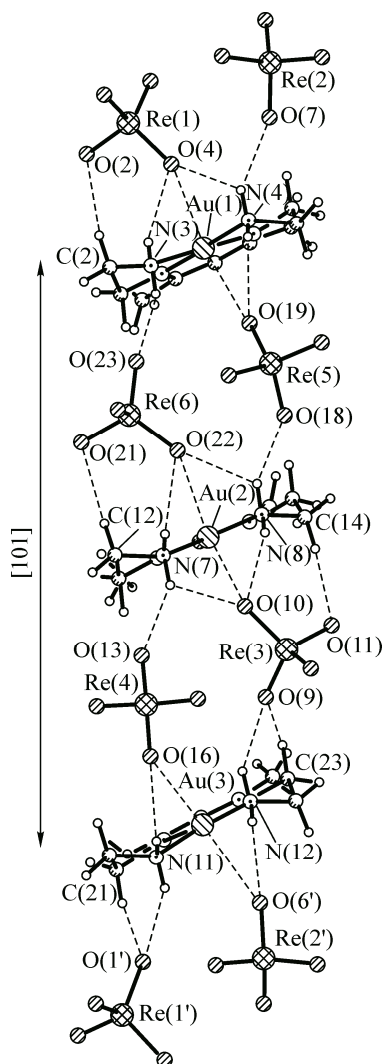


Рис. 4. Цепочки и кольца из Н-связей и контактов в направлении [101]

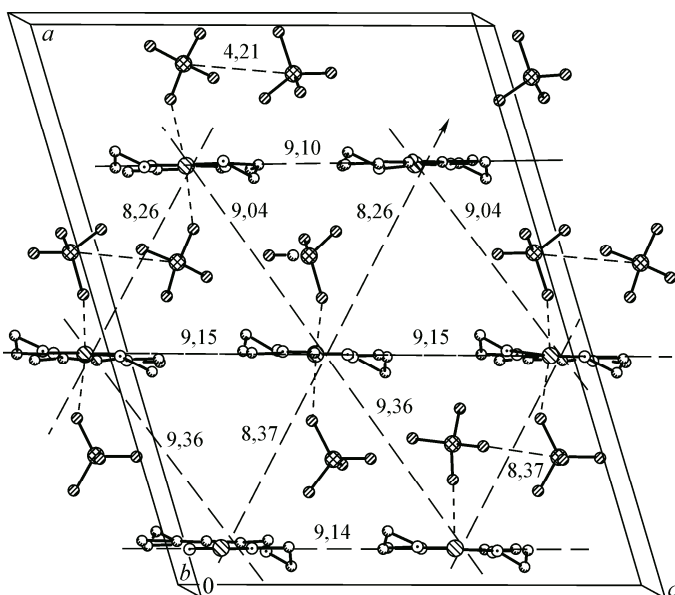


Рис. 5. Псевдогексагональный мотив расположения катионов в направлении вектора c_t (атомы водорода не показаны, даны расстояния Au...Au и Re...Re)

Расчет теоретической дифрактограммы для комплекса **IV** был выполнен только по атомам Au. Далее, используя программу [14], были найдены возможные варианты. В результате анализа было установлено, что наиболее симметричная подрешетка образована пересечением семейств плоскостей $\{-3\ 1\ 0\}$, $\{-2\ 0\ 2\}$, $\{-2\ 2\ 2\}$. Она построена на векторах: $a_t = a/3 + c/3$, $b_t = -a/6 - b/2 + c/3$, $c_t = -a/6 + b/2 - c/6$. Метрики выделенной подрешетки — $a_t = 8,29$, $b_t = 10,33$, $c_t = 7,68 \text{ \AA}$, $\alpha_t = 121,8^\circ$, $\beta_t = 122,6^\circ$, $\gamma_t = 90,1^\circ$ — позволяют рассматривать мотив расположения катионов как псевдогексагональный ($a_t \approx c_t$; $\beta_t \approx 120^\circ$) в направлении b_t (рис. 5).

Рентгенофазовый анализ продукта разложения комплекса при 800°C показал, что конечный продукт представляет собой смесь металлических порошков Au и фазы, имеющей гексагональную плотноупакованную (ГПУ) ячейку на основе Re (рис. 6). Согласно результатам проведенного полнопрофильного уточнения в области углов 2θ от 30 до 120° (PowderCell 2.4 [15]) параметр ГЦК-ячейки Au в пределах погрешности измерений совпадает с литературным значением $4,0786 \text{ \AA}$ [16, PDF № 00-04-0784]. Полученные значения параметров элементарной ячейки (ПЭЯ) ГПУ-ячейки $a = 2,778(2)$, $c = 4,460(4) \text{ \AA}$ немного больше литературных значений для металлического Re ($a = 2,760$, $c = 4,458 \text{ \AA}$) [16, PDF № 00-05-0702]. Следует отметить, что согласно фазовой диаграмме Au—Re [17] указанные металлы практически не смешиваются в твердом состоянии во всем интервале составов. Теоретически замещение атомов Re атомами Au должно приводить к увеличению ПЭЯ, так как атомный объем Au = $16,97$, а Re = $14,71 \text{ \AA}^3$. Однако к увеличению ПЭЯ может привести и внедрение атомов углерода (азота) в решетку рения. Так, в работе [18] было показано, что при осаждении паров $\text{Re}_2(\text{CO})_{10}$ и $\text{Re}(\text{CO})_3(\text{Cp})$ на стальные подложки при температурах ниже 450°C образуются рениевые покрытия с увеличенными значениями ПЭЯ: $a = 2,778 \div 2,789$, $c = 4,451 \div 4,460 \text{ \AA}$. Полученные нами значения хорошо укладываются в эти интервалы. Возможен и коллективный эффект.

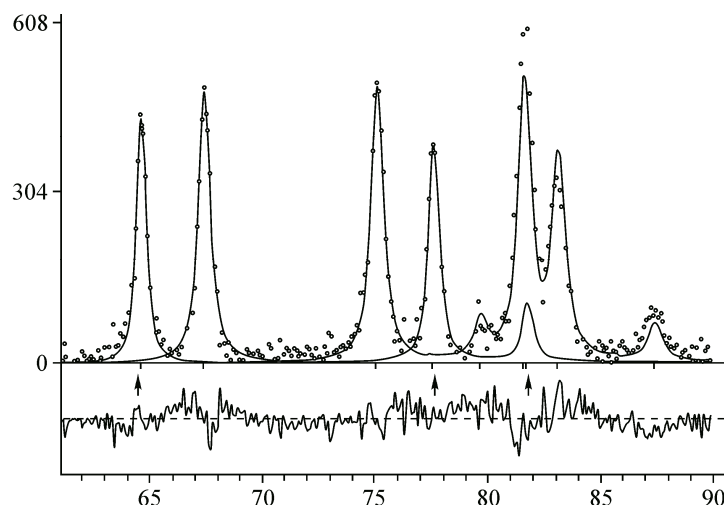


Рис. 6. Фрагмент дифрактограммы продукта термического разложения. Точками показаны экспериментальные значения. Рефлексы Au отмечены стрелками, остальные относятся к ГПУ-фазе на основе Re. Внизу показана разностная кривая

Обе фазы, зафиксированные в продукте термического разложения, являются нанокристаллическими: для Au размер областей когерентного рассеяния составляет 34 нм, а для ГПУ-фазы 24 нм. В обоих случаях микронапряжения не превышают $1 \cdot 10^{-3}$.

Авторы благодарят д.ф.-м.н. С.В. Борисова за помощь в обсуждении результатов работы, к.х.н. А.В. Задесенца за проведение термолиза изученной соли.

СПИСОК ЛИТЕРАТУРЫ

1. Афанасьева В.А., Глинская Л.А., Корольков И.В. // Координац. химия. – 2012. – **38**, № 8. – С. 557 – 565.
2. Афанасьева В.А., Байдина И.А., Миронов И.В. и др. // Журн. структур. химии. – 2000. – **41**, № 5. – С. 1019 – 1026.
3. Афанасьева В.А., Глинская Л.А., Корольков И.В. // Координац. химия. – 2013. – **39**, № 3. – С. 160 – 173.
4. Sheldrick G.M. SHELX-97, Release 97-2. – Göttingen (Germany): Univ. of Göttingen, 1998.
5. Бацанов С.С. // Журн. неорган. химии. – 1991. – **36**, № 12. – С. 3015 – 3037.
6. Храненко С.П., Быкова Е.А., Алексеев А.В., Громилов С.А. // Журн. структур. химии. – 2012. – **53**, № 3. – С. 520 – 526.
7. Байдина И.А., Макотченко Е.В., Шушарина Е.А. и др. // Журн. структур. химии. – 2010. – **51**, № 3. – С. 544 – 551.
8. Быкова Е.А., Храненко С.П., Громилов С.А. // Журн. структур. химии. – 2012. – **53**, № 1. – С. 186 – 190.
9. Быкова Е.А., Храненко С.П., Семитут Е.Ю., Громилов С.А. // Журн. структур. химии. – 2012. – **53**, № 1. – С. 142 – 148.
10. Шушарина Е.А., Храненко С.П., Громилов С.А. // Журн. структур. химии. – 2011. – **52**, № 1. – С. 206 – 208.
11. Храненко С.П., Курачева Н.В., Громилов С.А. // Журн. структур. химии. – 2014. – **55**, № 2. – С. 326 – 330.
12. Борисов С.В. // Журн. структур. химии. – 1986. – **27**, № 3. – С. 164 – 167.
13. Громилов С.А. Определение структурных мотивов координационных соединений на основе точных рентгendifрактометрических данных поликристаллов. Автореф. дис. ... д.ф.-м.н. – ИНХ СО РАН: Новосибирск, 2005.
14. Громилов С.А., Быкова Е.А., Борисов С.В. // Кристаллография. – 2011. – **56**, № 6. – С. 1013 – 1018.
15. Kraus W., Nolze G. // J. Appl. Crystallogr. – 1996. – **29**. – Р. 301 – 303.
16. Powder Diffraction File. PDF-2/Release 2009. International Centre for Diffraction Data, USA, 2009.
17. Okamoto H., Massalski T.B. // Bull. Alloy Phase Diagrams. – 1984. – **5**, N 4. – Р. 383.
18. Гельфонд Н.В., Морозова Н.Б., Филатов Е.С. и др. // Журн. структур. химии. – 2009. – **50**, № 6. – С. 1179 – 1186.